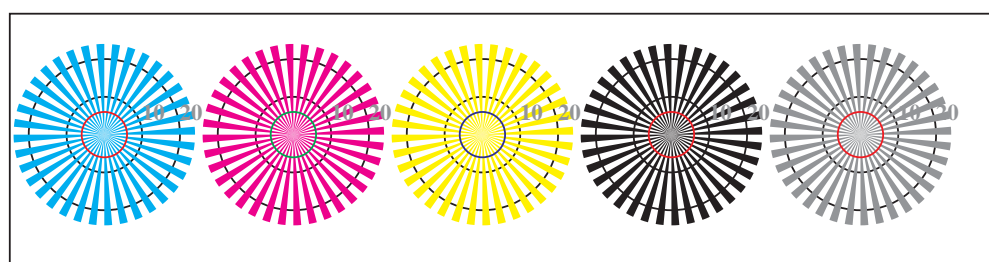


| | | | | | | | | | | | | | | | | | | | | | | | | | | | |
|------|---|---|---|---|---|------|---|-----|-----|-----|---|------|---|-----|-----|-----|--------|---|---|---|---|------|---|-----|-----|-----|---|
| +-.: | Q | O | O | O | C | lmno | C | O | C | O | O | pqrs | O | O | O | O | uvwxyz | O | O | O | O | tuvw | O | O | O | O | |
| xyz; | O | O | O | O | O | hijk | O | O | O | O | O | lmno | O | O | O | O | defg | O | O | O | O | pqrs | O | O | O | O | |
| tuvw | O | O | O | O | O | defg | O | O | O | O | O | hijk | O | O | O | O | !abc | O | O | O | O | lmno | O | O | O | O | |
| pqrs | O | O | O | O | O | !abc | O | O | O | O | O | +-.: | O | O | O | O | xyz; | O | O | O | O | tuvw | O | O | O | O | |
| lmno | O | O | O | O | O | xyz; | O | O | O | O | O | xyz; | O | O | O | O | defg | O | O | O | O | defg | O | O | O | O | |
| hijk | C | O | O | O | O | tuvw | O | O | O | O | O | !abc | O | O | O | O | !abc | O | O | O | O | 6 | N | C_d | M_d | Y_d | Z |
| defg | O | O | O | O | O | pqrs | O | O | O | O | O | 8 | N | C_d | M_d | Y_d | Z | O | O | O | O | 4 | N | C_d | M_d | Y_d | Z |
| !abc | O | O | O | O | O | 10 | N | C_d | M_d | Y_d | Z | | | | | | | | | | | | | | | | |

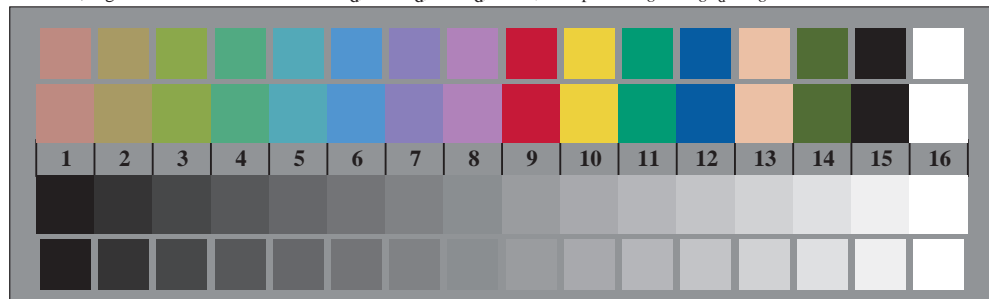
TF951-3, Fig. B5Wd: code et Landolt anneau N ; C_d ; M_d ; Y_d ; Z ; PS operator $rgb \rightarrow rgb_d$ setrgbcolor



TF950-5, Fig. B2Wd: radial callebotis $W-C_d$; $W-M_d$; $W-Y_d$; $W-N$; PS operator $rgb \rightarrow rgb_d$ setrgbcolor

| | | | |
|-------------------------|------|-------------------------|------|
| anneaux Landolt $W-C_d$ | Code | anneaux Landolt $W-M_d$ | Code |
| 0-1 | | 0-1 | |
| 7-8 | | 7-8 | |
| E-F | | E-F | |
| 2-0 | | 2-0 | |
| 8-6 | | 8-6 | |
| F-D | | F-D | |

TF951-5, Fig. B6Wd: anneaux Landolt $W-C_d$; $W-M_d$; PS operator $rgb \rightarrow rgb_d$ setrgbcolor



| | | | |
|-------------------------|------|-----------------------|------|
| anneaux Landolt $W-Y_d$ | Code | anneaux Landolt $W-N$ | Code |
| 0-1 | | 0-1 | |
| 7-8 | | 7-8 | |
| E-F | | E-F | |
| 2-0 | | 2-0 | |
| 8-6 | | 8-6 | |
| F-D | | F-D | |

TF951-7, Fig. B7Wd: anneaux Landolt $W-Y_d$; $W-N$; PS operator $rgb \rightarrow rgb_d$ setrgbcolor